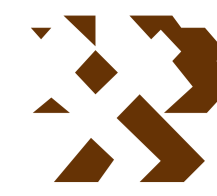


# MAPA GEOLÓGICO DE ESPAÑA

Escala 1:50.000



Instituto Geológico y Minero de España

SONSECA

657

18-26

## LEYENDA

CUATERNARIO		29	28	27	26
TERCIA NEÓGENO	PLIOCENO	25			
	MIOCENO	24			
ORDOVICICO	INFERIOR	23			
	22a	22			
CÁMBRICO	INFERIOR	20a			
	20	20			

DOMINIO MIGMATÍTICO DE TOLEDO	
PRECÁMBRICO	19
	17

ROCAS ÍGNEAS HERCÍNICAS GRANITOIDES TARDICINEMÁTICOS	
16	15
14	13
12	11
10	9

GRANITOIDES SIN CINEMÁTICOS	
8	7

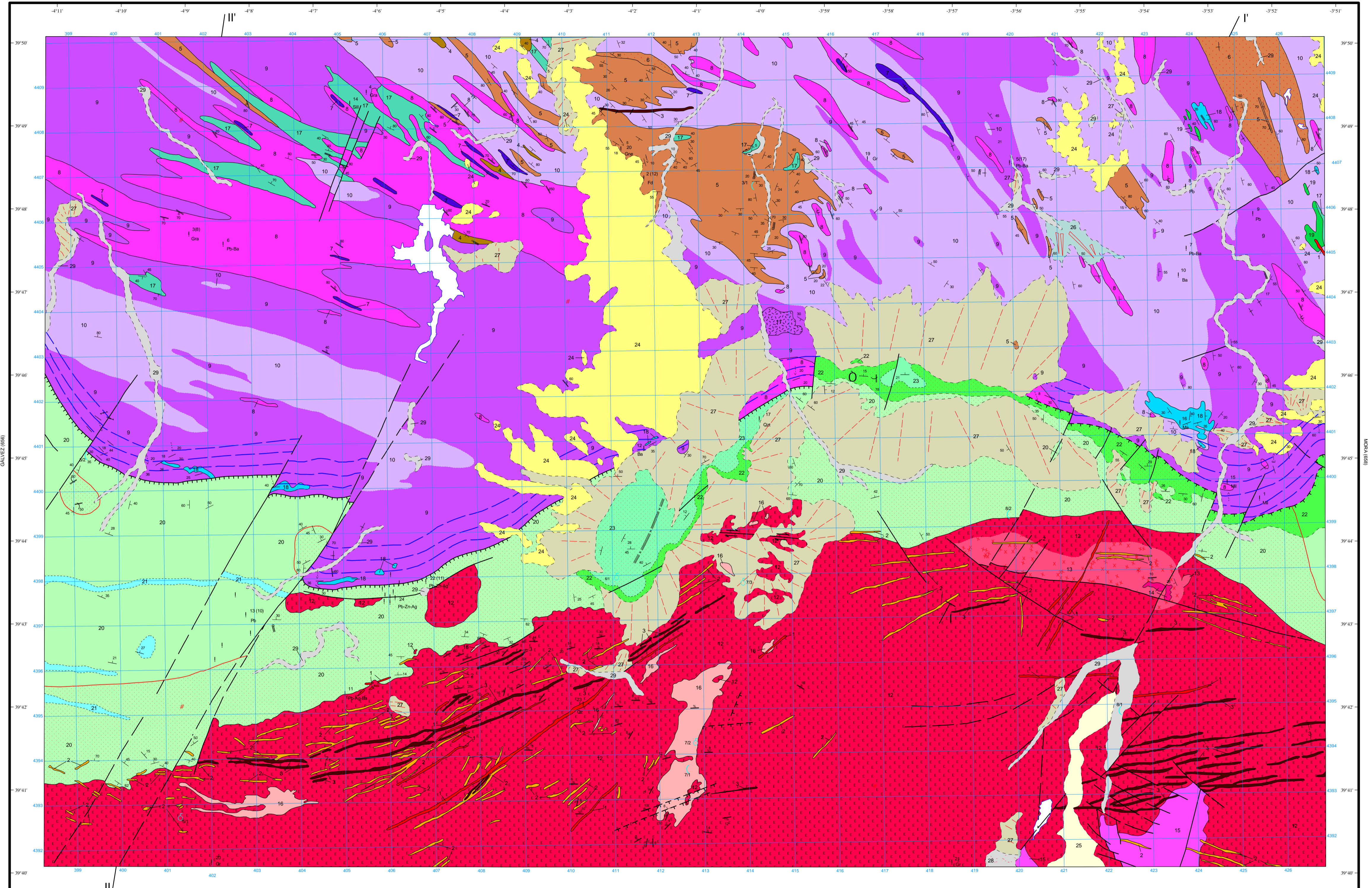
ROCAS ÍGNEAS PREHERCÍNICAS	
5	6
4	

ROCAS FILONIANAS	

- 29 Aluvial. Fondo de valle
- 28 Terrazas
- 27 Derrubios de ladera
- 26 Clacis
- 25 Conglomerados, arenas y arcillas
- 24 Conglomerados, arenas y bloques polimícticos
- 23a Ortocuarzitas (Facies Armoniana), afectadas por metamorfismo de contacto
- 23 Ortocuarzitas (Facies Armoniana)
- 22a Cuarzitas, areniscas y pizarras (Serie Púrpura), afectadas por metamorfismo de contacto
- 22 Cuarzitas, areniscas y pizarras (Serie Púrpura)
- 21 Niveles carbonatados
- 20a Pizarras y limolitas afectadas por metamorfismo de contacto
- 20 Pizarras y Limolitas
- 19 Cuarzitas
- 18 Mármoles y rocas de silicatos cálcicos
- 17 Esquistos y meta-areniscas feldespáticas
- 16 Leucogranitos moscovíticos ± Biotita ± Cordierita ± Granate ± Turmalina (Tipo Cerro Torcón)
- 15 Granitos biotítico - moscovíticos de grano medio - fino con Cordierita y Andalusita
- 14 Granitos y monzogranitos porfídicos, biotítico-moscovíticos ± cordierita de grano fino a muy porfídico
- 13 Granitos y monzogranitos porfídicos, biotítico-moscovíticos ± cordierita
- 12 Granitos y monzogranitos biotíticos de grano medio-grueso con megacristales de Feldespatos K ± Cordierita (tipo Mora - Menasalvas)
- 11 Idem anterior (9) de facies de grano fino con Biotita-Moscovita
- 10 Idem anterior (9) de facies leucocráticas con Cordierita
- 9 Granitoides inhomogéneos y migmatitas, en facies oscuras con Biotita + Cordierita
- 8 Adamelitas y granodioritas porfídicas deformadas (Tipo Argés-Guadamur)
- 7 Tonalitas deformadas
- 6 Ortogneises metagraníticos leucocráticos en facies glandulares
- 5 Ortogneises metagraníticos leucocráticos
- 4 Ortogneises biotíticos glandulares
- 3 Porfidos graníticos
- 2 Aplitas
- 1 Cuarzo

## SÍMBOLOS CONVENCIONALES

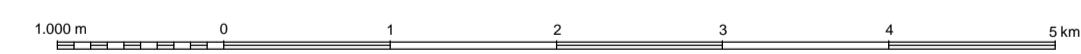
-----	Contacto concordante	-----	Contacto discordante
-----	Contacto difuso	-----	Aureola de metamorfismo de contacto
-----	Contacto intrusivo	-----	Falla conocida
-----	Falla supuesta	-----	Falla con indicación de hundimiento
-----	Falla con indicación de hundimiento sup.	-----	Falla con indicación de movim. dextrógr.
-----	Sinforme de 3ª fase	-----	Estratificación subhorizontal
-----	Estratificación	-----	Cizalla vertical con sentido de movimiento
-----	Lineación de intersección asociada a la fase tardíherc. subhoriz.	-----	Lineación de intersección asociada a la fase tardíherc.
-----	Lineación de fase 3	-----	Lineación de orientación mineral
-----	Lineación de estratamiento horizontal	-----	Lineación de estratamiento
-----	Foliación vertical	-----	Foliación
-----	Foliación tardi-hercínica	-----	Foliación S1 asociada a la fase 1 hercínica vertical
-----	Foliación S1 asociada a la fase 1 hercínica	-----	Foliación en rocas graníticas subvertical
-----	Foliación en rocas graníticas	-----	Foliación asociada a movimientos de falla
-----	Manantiales o fuentes	-----	Pozo
-----	Estación pluviométrica	-----	Indicios minerales
-----	Banda de deformación dúctil-frágil a muro de falla normal	-----	Ag
Ba	Bario	Fd	Feldespatos
Gne	Gneis	Gr	Granito
Gra	Gráfico	Ma	Mármol
Mil	Milonita	Pb	Piombo
Qz	Cuarzo	Sil	Sillimanita
Zn	Zinc		



Área de Sistemas de Información Geocientífica

LOS YEBENES (685)

Escala 1:50.000



Proyección y Cuadrícula UTM. Elipsoide Internacional. Huso 30

NORMAS, DIRECCIÓN Y SUPERVISIÓN DEL I.G.M.E. AÑO DE REALIZACIÓN DE LA CARTOGRAFÍA GEOLÓGICA: 1990

Autores: Sánchez Carretero, R. (INGEMISA)  
Contreras López, E. (INGEMISA)  
Martín Parra, L. M. (EGEO)  
Martínez-Salanova, J. (EGEO)  
Gutiérrez Alonso, G. (EGEO)  
Barbero, L. (UNIV. COMPLUTENSE)  
Villasaca, C. (UNIV. COMPLUTENSE)  
Dirección y supervisión: Bellido Mulas, F. (IGME)